

**МЕХАНИКА
ЖИДКОСТИ И ГАЗА**
№ 2 • 1987

УДК 533.6.013.124

**ЭКСПЕРИМЕНТАЛЬНОЕ ИССЛЕДОВАНИЕ ВЛИЯНИЯ
ПРОДОЛЬНОГО ОРЕБРЕНИЯ НА СОПРОТИВЛЕНИЕ ТРЕНИЯ
ПЛОСКОЙ ПЛАСТИНЫ**

**ЕНИЮТИН Г. В., ЛАШКОВ Ю. А., САМОЙЛОВА Н. В.,
ФАДЕЕВ И. В., ШУМИЛКИНА Е. А.**

Для современных самолетов, рассчитанных на большую дальность полета при числе Маха $M_\infty = 0,7 - 0,8$, сопротивление трения составляет приблизительно 60% от полного сопротивления самолета, причем сопротивление трения фюзеляжа составляет 30%, а крыла – 20–25% от общего сопротивления.

Данная работа посвящена исследованию одного из возможных способов снижения сопротивления трения, состоящего в применении мелкоребристых поверхностей с ребрами, направленными вдоль потока. Этот способ снижения трения описан в зарубежной литературе (см., например, [1]). В отечественной литературе результатов таких исследований не опубликовано.

Уже в 1956 г. экспериментально было показано, что при рассчитанном по гидравлическому диаметру канала числе Рейнольдса $Re = 10^3$ течение в углах оставалось ламинарным на участках до 40% по высоте треугольника [2]. Было высказано предположение, что наблюдаемый эффект обусловлен подавлением турбулентности в угловых областях из-за малости поперечных масштабов. В более поздних работах, например [3], отмечались аналогичные эффекты, приводившие к заметному снижению коэффициента трения при турбулентном режиме течения в эксцентрических кольцевых каналах.

Влияние оребрения на частоту турбулентных выбросов и сопротивление трения при дозвуковой скорости потока впервые было исследовано в 1966 г. [4]. Высота ребер h прямоугольной формы варьировалась в диапазоне $h^+ = 45 - 111$, а расстояние s^+ между ними изменялось от 190 до 373. Здесь и ниже значения h и s выражены в следующих безразмерных переменных:

$$h^+ = h u_\infty \sqrt{c_f} / \sqrt{2} v, \quad s^+ = s u_\infty \sqrt{c_f} / \sqrt{2} v$$

Здесь u_∞ – скорость набегающего потока, c_f – коэффициент трения, v – вязкость. Было установлено, что при определенных значениях высоты и расстояния между ребрами частота турбулентных выбросов уменьшается на 20–25%, а сопротивление трения оребренной поверхности – на 3–4% по сравнению с сопротивлением трения гладкой пластины.

В [4] также упомянуто о других экспериментальных исследованиях влияния прямоугольного оребрения на сопротивление, в которых были получены противоположные результаты: при $h^+ = 70 - 150$ и $s^+ = 50 - 1100$ оребрение приводило к увеличению силы трения на 10–50%. В этой работе было отмечено, что треугольные ребра при прочих равных условиях меньше увеличивают омыываемую потоком поверхность (по сравнению с прямоугольными ребрами) и поэтому могут привести к снижению сопротивления трения на оребренной поверхности.

Наиболее исчерпывающие результаты экспериментального исследования в дозвуковом потоке ($u_\infty \leq 46$ м/с) турбулентного сопротивления трения оребренных поверхностей изложены в [4–6]. Наибольшее снижение трения ($\sim 8\%$) в этих исследованиях было достигнуто на модели с треугольным профилем ребра ($h = s = 0,51$ мм) при $h^+ = s^+ = 12$. Для искусственного утолщения пограничного слоя использовались турбулизаторы.

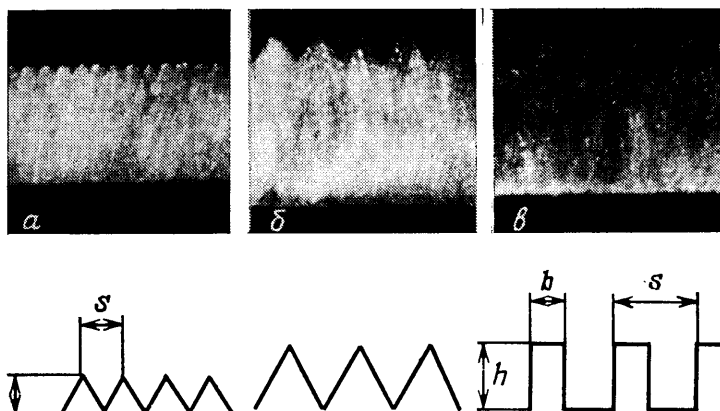
В настоящей работе приведены результаты экспериментального исследования весовым методом влияния продольного оребрения на сопротивление трения плоской пластины. Эти исследования проводились как при естественно развитом турбулентном пограничном слое, так и при наличии турбулизатора в безградиентном потоке.

1. Испытания проводились в малотурбулентной аэродинамической трубе с закрытой рабочей частью с поперечным сечением 1×1 м и длиной 4 м. Скорость потока u_∞ в рабочей части изменялась в опытах от 5 до 100 м/с, при этом уровень

среднеквадратичных пульсаций продольной составляющей скорости не превышал 0,02–0,04%.

Базовая модель, на которой проводились исследования, представляла собой пластину с хордой, равной 3,4 м, размахом 1 м, максимальной толщиной 110 мм. Носок пластины выполнен в виде полуэллипса (отношение осей 1:12), хвостовая часть имела оживальную форму. В аэродинамической трубе пластина устанавливалась горизонтально в среднем по высоте сечении рабочей части. Передняя кромка пластины удалена на 460 мм от сечения сопротивления сопла трубы с ее рабочей частью.

В пластине был вырезан люк размером 285×285 мм, в котором размещались однокомпонентные тензометрические весы для измерения силы трения. Элементы исследуемых поверхностей наклеивались на подвижную («плавающую») пластину весов, которая также имела форму квадрата со стороной 285 мм и устанавливалась в люке заподлицо с неподвижной базовой пластиной. Рабочая поверхность пластины весов и прилегающая неподвижная поверхность с погрешностью не более 0,02 мм



Фиг. 1

были плоскими. Зазор между плавающей и неподвижной пластинами составлял 0,03–0,06 мм у передней кромки и 0,1–0,15 мм у задней и боковых кромок.

На фиг. 1 даны фотографии исследованных моделей ребристых поверхностей с увеличением в 25 раз. Модели были выбраны так, чтобы оценить влияние размеров ребер и их формы на силу поверхностного трения. Две ребристые поверхности имели профиль ребра, близкий к треугольному: модель А с высотой ребер $h=0,078$ мм и расстоянием между ними $s=0,097$ мм (фиг. 1, а) и модель В с $h=0,17$ мм, $s=0,25$ мм (фиг. 1, б). Следует отметить, что у модели А ребро изготовлено с большим притулением вершины, чем у модели В, и поэтому в большей степени отличалось от треугольного. Отношение h/s у моделей А и В равно 0,8 и 0,68 соответственно. Третья ребристая поверхность (модель С) – с ребром прямоугольной формы: $h=0,215$ мм, $s=0,26$ мм, ширина площадки на вершине ребра $b=0,096$ мм (фиг. 1, в). Исследованные поверхности были изготовлены из листового материала толщиной 0,8 мм.

На весах была измерена также сила сопротивления трения эталонной гладкой пластины.

2. В процессе испытаний на каждом режиме при фиксированной скорости потока в трубе измерялись: сила трения F , действующая на поверхность установленной на весах пластины, скоростной напор Δp в рабочей части в зоне весов, полное давление p_0 в форкамере, статическое давление p в контрольном сечении трубы и температура потока.

При измерении силы сопротивления трения ребристых и гладкой поверхностей требовалось обеспечить безградиентное поле течения с естественно развитым турбулентным пограничным слоем. В ранее проведенных исследованиях было установлено, что в зоне расположения весов при скорости потока $u_\infty < 25$ м/с режим течения в пограничном слое – ламинарный. Измеренные с помощью термоанемометра профили скоростей и пульсаций при $u_\infty > 25$ м/с полностью соответствуют естественно развитому турбулентному пограничному слою. Толщина пограничного слоя в зоне исследуемой поверхности составляла примерно 20–25 мм при турбулентном режиме течения. Число Рейнольдса изменялось от $6 \cdot 10^5$ до

$1,2 \cdot 10^7$ при изменении скорости потока в трубе u_∞ от 5 до 100 м/с (в качестве характерной длины взято расстояние от носка модели до центра пластины весов, равное 2 м).

Ряд опытов был проведен с использованием турбулизатора, что обеспечивало турбулентный режим течения в пограничном слое во всем исследованном диапазоне скоростей потока. При этом при тех же скоростях u_∞ число Рейнольдса Re_x , соответствующее увеличенной толщине пограничного слоя, возрастало примерно вдвое. Турбулизатор представлял собой барьер высотой 7 мм, установленный по нормали к поверхности пластины по всей ее ширине на расстоянии 1,8 м вверх по потоку от исследуемой поверхности.

Турбулизатор такого типа позволяет заметно увеличить толщину пограничного слоя при сохранении его характеристик, близких к естественным [7], что подтвердилось термоанемометрическими измерениями. В проведенных исследованиях не удалось обеспечить нулевой продольный градиент давления. Давление вдоль пластины слабо падало. Это падение давления на длине исследуемого образца составляло менее 1% от скоростного напора и оставалось неизменным во всех опытах.

В весовых испытаниях возмущения в пограничный слой могут быть внесены за счет вдува или отсоса пограничного слоя через щели между «плавающей» пластиной весов и неподвижной базовой пластиной. В данных опытах давление в зоне весов в полости пластины поддерживалось близким к статическому давлению на ее поверхности (разность давлений не превышала 1 мм водяного столба). Это практически исключало перетекание газа через щель.

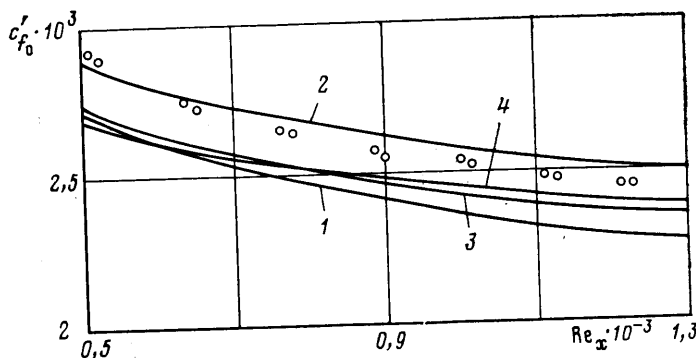
Для обеспечения достаточной точности измерения силы трения очень важно установить поверхность подвижной пластины весов строго заподлицо с неподвижной пластиной. В данных опытах погрешность установки исследуемых поверхностей относительно кромок базовой пластины не превышала 0,03 мм. При определении силы сопротивления контрольной гладкой пластины проводились две серии испытаний — с турбулизатором и без него. При этом гладкую пластину неоднократно удаляли из трубы, а затем устанавливали вновь на весах. Результаты измерений сопротивления турбулентного трения гладкой пластины воспроизводились с точностью $\pm 2\%$. Значения коэффициента трения гладкой пластины c_{f0}' аппроксимировались зависимостями вида $c_{f0}' = A[\lg(u_\infty - u_0)]^m$. Константы A , u_0 , m определялись методом наименьших квадратов.

Можно ожидать, что если при испытаниях ребристая поверхность устанавливается вровень с неподвижной гладкой пластиной по вершинам ребер, то измеряемое сопротивление трения занижается, а если по основаниям ребер, то завышается. Наиболее точный результат, очевидно, может быть получен, когда неподвижная пластина также является ребристой. В данных исследованиях таких опытов не проводилось, по-видимому, так же как и в исследованиях [4–6], где нет никаких указаний на это. Более того, в [4–6] не оговорено, каким именно образом ребристая поверхность устанавливалась по отношению к базовой пластине. В настоящей работе проводились испытания с ребристыми поверхностями, установленными заподлицо с гладкой базовой пластиной, а также выступавшими над ней: ребристые поверхности с треугольной формой ребра выступали на высоту ребра h , а с прямоугольной формой — на половину высоты ребра $h/2$.

Ниже для каждой исследованной ребристой поверхности приведены результаты, полученные при всех способах установки, поскольку истинная величина измеренного коэффициента трения находится, по-видимому, в пределах соответствующих экспериментальных значений c_f' . Для поверхности A с $h=0,078$ выступ на высоту ребра практически не влияет на результаты. Для двух других ребристых поверхностей выступ увеличивает значение коэффициента трения на 2–4%.

Представляет интерес тот факт, что небольшое естественное загрязнение ребристой поверхности не влияет на величину силы трения. Это обнаружилось при сравнительных испытаниях незагрязненной и загрязненной ребристой поверхности, когда пылинки в канавках были видны через лупу и не удалялись при обдуве струей воздуха под давлением. Этот результат позволяет надеяться на снижение требований к чистоте обработки поверхности внутри канавок, а также к загрязнению ребристой поверхности при эксплуатации ее на самолете.

3. На фиг. 2 для эталонной гладкой пластины приведены измеренные на весах значения коэффициента трения c_{f0}' в функции от числа Re_x . Там же нанесены расчетные зависимости местного коэффициента трения



Фиг. 2

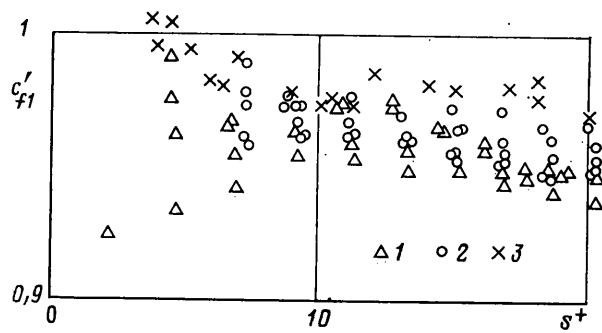
$c_{f0}'(Re_x)$, определенные по известным соотношениям Прандтля $c_{f0}' = 0,0592 Re_x^{-0,2}$, Шульц - Грунова $c_{f0}' = 0,37 (\lg Re_x)^{-2,584}$, Прандтля - Шлихтинга $c_{f0}' = (2 \lg Re_x - 0,65)^{-2,3}$ и Никурадзе $c_{f0}' = 0,02296 Re_x^{-0,139}$ (кривые 1-4 соответственно).¹

При вычислении местного коэффициента трения по величине силы трения, действующей на пластину размером 285×285 мм, получим некоторую осредненную по длине оценку величины местного коэффициента трения. В силу нелинейной зависимости $c_{f0}'(Re_x)$ эта оценка, по-видимому, будет несколько завышенной по сравнению с истинным значением местного коэффициента трения, что подтверждается данными на фиг. 2. Однако в целом измеренные в настоящих опытах значения c_{f0}' для гладкой пластины удовлетворительно согласуются с соответствующими классическими результатами. Так, отличие от зависимости Прандтля - Шлихтинга местного коэффициента трения не превышает 3% при $Re_x > 0,5 \times 10^7$. Отметим, что в [4-6] нет аналогичного сравнения измеренных на весах значений c_{f0}' с классическими данными.

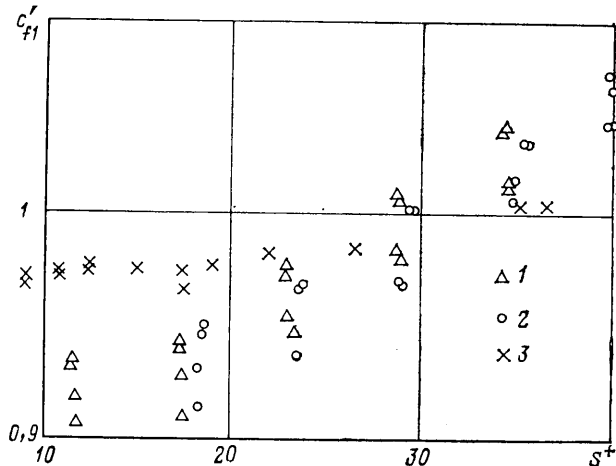
На фиг. 3-5 представлены результаты весовых измерений сопротивления трения трех ребристых поверхностей (модели A, B, C соответственно) при испытаниях с турбулизатором (точки 1) и без него (точки 2). Здесь приведены зависимости относительного коэффициента трения $c_{f1}' = c_f / c_{f0}$ от безразмерного шага оребрения s^+ , где c_f и c_{f0} - местный коэффициент трения ребристой и гладкой поверхностей соответственно. Значения c_{f0} определялись по осредненным зависимостям, описанным выше; значения c_f не осреднялись и для наглядности зависимости относительного коэффициента трения c_{f1}' приведены для различных положений ребристой поверхности - заподлицо и с выступом в пределах высоты ребра (истинная величина $c_{f1}'(s^+)$ заключена в пределах этих значений).

Представление результатов в безразмерных переменных $c_{f1}'(s^+)$ общепринято в работах по исследованию оребрения и связано с гипотезой о

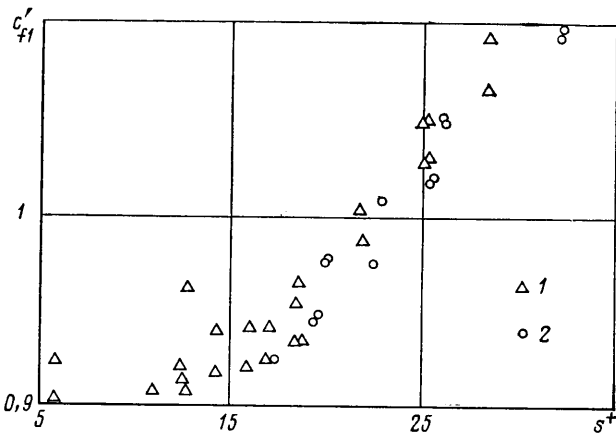
¹ На фиг. 2 вместо $Re_x \cdot 10^{-3}$ следует читать $Re_x \cdot 10^{-7}$.



Фиг. 3



Фиг. 4



Фиг. 5

воздействии продольных канавок на зарождение и развитие турбулентных пристеночных выбросов. Это воздействие, по-видимому, наиболее эффективно в том случае, когда размеры ребер сравнимы с областью возникновения выбросов. Как известно, область зарождения турбулентных выбросов ограничена по толщине пограничного слоя $y^+=30$, а поперечное расстояние между ними в безразмерном виде равно 100. В данных опытах величина h^+ варьировалась от 2 до 45, а величина s^+ — от 2 до 55.

Из фиг. 3—5 отчетливо видно, что продольное оребрение позволяет существенно снизить сопротивление трения по сравнению с гладкой по-

верхностью. Наиболее эффективной из исследованных поверхностей оказалась ребристая поверхность *B* с треугольной формой ребра с параметрами $h=0,17$ мм, $s=0,25$ мм: максимальный выигрыш в трении на фиг. 4 достигает 7–8%. Снижение трения наблюдается в диапазоне $s^+ \leq 30$, при больших значениях s^+ сопротивление трения увеличивается по сравнению с гладкой пластиной.

Максимальный выигрыш в трении для поверхности *A* также с формой ребра, близкой к треугольной, с параметрами $h=0,078$ мм, $s=0,097$ мм несколько меньше и составляет 4–5% (фиг. 3). Однако эта поверхность обладает тем преимуществом, что обеспечивает более стабильное снижение трения в диапазоне $s^+ \leq 20$. Кроме того, на фиг. 3 заметна тенденция к снижению сопротивления трения с ростом величины s^+ от 15 до 20, тогда как выигрыш в трении за счет оребрения *B* (фиг. 4) снижается с ростом s^+ . Возможно, ребристая поверхность *A* позволит расширить диапазон снижения трения по величине s^+ в дальнейших исследованиях.

Для ребристой поверхности с прямоугольной формой ребра с параметрами $h=0,215$ мм, $s=0,26$ мм максимальный выигрыш составляет 7–9%. Как видно из фиг. 5, снижение сопротивления трения наблюдается при $s^+ \leq 23$.

Результаты исследований аналогичных ребристых поверхностей (точки 3), полученные в [6], приведены для сравнения на фиг. 3, 4. Видно, что выигрыши в трении, полученный в данной работе, выше, чем в [6], особенно в случае поверхности *B*. Это может быть обусловлено, во-первых, некоторым различием параметров моделей: в [6] относительная высота ребра h/s имела значения 0,54 и 0,45, в рассматриваемом случае – соответственно 0,68 и 0,8 (модель *B*, *A*). Во-вторых, длина пластины в данных исследованиях составляла 28,5 см, а в [6] – 91,4 см, тогда как по результатам [4] оребрение более эффективно на начальных участках поверхности. Отметим, что в данных опытах не наблюдалось снижения эффективности оребрения с увеличением протяженности участка оребрения.

В целом проведенные исследования показали, что снижение турбулентного трения за счет применения продольного оребрения может достигать 8–10%.

Авторы выражают благодарность В. В. Михайлову за большую помощь в работе.

ЛИТЕРАТУРА

1. *Walsh M. J.* Turbulent boundary layer drag reduction using riblets // AIAA Pap. 1982. № 169. 8 p.
2. *Eckert E. R. G., Irvine T. F. Jr.* Flow in cornes of passages with noncircular cross sections // Trans. ASME. 1956. V. 78. № 4. P. 709–718.
3. *Jonsson V. K., Sparrow E. M.* Experiments on turbulent-flow phenomena in eccentric annular ducts // J. Fluid Mech. 1966. V. 25. Pt 1. P. 65–86.
4. *Уолш М. Д.* Сопротивление пластины с продольными пазами и ребрами. // Снижение вязкостного трения. М.: Машиностроение, 1984. С. 189–206.
5. *Walsh M. J., Weinstein L. M.* Drag and heat transfer on surfaces with small longitudinal fins // AIAA Pap. 1978. № 1161. 11 p.
6. *Walsh M. J., Lindemann A. M.* Optimization and application of riblets for turbulent drag reduction // 22nd AIAA Aerospace Sciences Meeting. January 9–12, 1984. Reno, Nevada.
7. *Klebanoff P. S., Diel Z. W.* Some features of artificially thickened fully developed turbulent boundary layers with zero pressure gradient // NACA, Techn. Note. 1951. № 2475. 55 p.

Москва,
Харьков

Поступила в редакцию
21.VII.1986